

# اثر میراگرها لزج مایع در طراحی و بهسازی ساختمان‌های بتن آرمه تحت زلزله

ابوالحسن وفانی (استاد)

شهاب الدین حاتمی (دانشجوی کارشناسی ارشد)

همایون اسماعیل پوراستکانچی (استادیار)

مهیار جاوید روزی (دانشجوی دکترا)

دانشکده‌ی مهندسی عمران، دانشگاه صنعتی شریف

نصب میراگرها لزج (ویسکوز) مایع در ساختمان‌ها، یکی از روش‌های جدید بهسازی ساختمان‌های موجود یا طراحی ساختمان‌های نو در برابر زلزله است. تحقیقات انجام شده پیرامون این روش، که در حدود یک دهه عمر دارد، بسیار محدود بوده و لازم است در این رابطه تحقیقات جامعی که راه‌گشای مهندسین سازه برای استفاده از این شیوه باشد، صورت گیرد. در این نوشتار با استفاده از یک سری تحلیلهای عددی بر روی مدل‌های غیرخطی ساختمان‌های بتن آرمه، تأثیر نصب میراگرها لزج مایع در طبقات این ساختمان‌ها، مورد ارزیابی قرار گرفته و سعی شده است که با انتخاب مدل‌هایی با تعداد طبقات و عرض دهانه‌های مختلف و همچنین اعمال زلزله‌های گوناگون بر سازه، نتایج جامعی در این زمینه به دست آید.

از طریق نصب میراگرها با درصد میرایی مناسب، پارامترهایی نظیر جابه‌جایی نسبی طبقات، شاخص آسیب سازه و تغییر مکان مطلق طبقات کاهش چشمگیری می‌یابد و تغییر شکل‌های غیرخطی در عضوهای سازه به حداقل می‌رسد. همچنین علیرغم کاهش نیروها در عضوهای سازه‌یی، برش طبقات و برش پایه در مواردی، بهویژه در متصدهای میرایی بالا، افزایش می‌یابند. در این تحقیق همچنین در مورد میرایی الحاقی بهینه بهمنظور طراحی میراگرها برای قاب‌های مختلف بحث شده است.

زلزله پیش‌بینی کرد. در نتیجه رفتار رفت و برگشتی با تکرار چرخه‌های غیر خطی، موجب کاهش مقاومت عضوهای سازه‌یی در برابر زلزله می‌شود.

اخیراً روش‌هایی برای پاسخ به کاستی‌های روش مرسوم طراحی، و همچنین برای اصلاح و بهسازی ساختمان‌های قدیمی‌تر که مقاومت کافی در برابر زلزله‌های شدید ندارند و عموماً جزئیات شکل ناپذیر دارند، ابداع شده است. یکی از این روش‌ها که اخیراً مطرح شده، استفاده از ابزارهای مستهلك کننده‌ی انرژی یا میراگرها در ساختمان‌ها است که عملکتر از یک دهه است که مورد استفاده قرار می‌گیرد. میراگرها لزج مایع از جمله‌ی این ابزارها هستند، که براساس اتفاق انرژی از طریق عبور جریان مایع از میان مجراهای یک پیستون عمل می‌کنند.

بهمنظور تحقیق پیرامون عملکرد این میراگرها در ساختمان‌ها، برای اولین بار در سال ۱۹۹۲، آنها را در مدل‌های سازه فولادی یک طبقه و سه‌طبقه برای مقابله با بارهای لرزه‌یی مورد استفاده قرار دادند.<sup>[۱]</sup> پس از آن، در سال ۱۹۹۵، پیرامون اثر این میراگرها در اصلاح مدل قاب بتن آرمه سه‌طبقه مطالعه شد.<sup>[۲]</sup> شرکت تیلور نیز که عمدت‌ترین تولیدکننده‌ی این نوع میراگرهاست، از آنها در اصلاح

## مقدمه

روش مرسوم طراحی ساختمان‌ها بر این اصل استوار است که عضوهای سازه‌یی در زلزله‌های متوسط نباید آسیب مهمی بینند. در زلزله‌های شدید ممکن است آسیب‌های قابل توجهی به سازه وارد شود، اما سازه باید پایدار بماند و جان ساکنین به مخاطره نیافتد. بنابراین با توجه به اینکه برای رعایت ملاحظات اقتصادی، زلزله‌های متوسط مبنای طراحی قرار گرفته‌اند، سازه در زلزله‌های شدید وارد تغییر شکل‌های غیرخطی خواهد شد؛ اما هرچه شکل پذیری سازه بیشتر باشد، این‌گونه تغییر شکل‌ها با این‌منی بیشتری از سرگذرانده خواهد شد و باعث خرابی سازه نمی‌شوند.

رفتار غیرخطی نوعاً در نواحی بحرانی خاصی از سازه -معمولًا در تیرها و نزدیک محل اتصال تیر و ستون یا در پای ستون‌ها- اتفاق می‌افتد. از آنجا که این عضوهای المان‌های اصلی حامل بار ثقلی نیز هستند، رفتار غیرخطی در این نواحی ضمن اینکه اتفاق انرژی محسوسی را ممکن می‌سازد، اغلب موجب وارد آمدن آسیب قابل توجهی به عضوهای سازه‌یی می‌شود. اگرچه مقررات زیادی بهمنظور طراحی و ساخت عضوهای سازه‌یی شکل پذیر در آئین نامه‌ها منظور شده است، براحتی نمی‌توان رفتار شکل پذیر یک سازه را در برابر

تغییر شکل‌های محوری در برنامه با استفاده از یک فنر کشسان خطی مدل شده‌اند.

برنامه‌ی IDARC منحنی گشتاور-انحنا را برای هر مقطع بتن آرم، از یک مدل لایه‌بی و با توجه به خصوصیات غیرخطی بتن و فولاد در لایه‌های مختلف آن مقطع ارائه می‌دهد. ظرفیت نهایی تغییر شکل در این منحنی زمانی است که بتن به کرنش نهایی خود برسد، یا یکی از میلگردها به مقاومت نهایی فولاد برسد. تحلیل دینامیکی غیرخطی در این برنامه با استفاده از ترکیبی از روش انتگرالی Newmark-Beta و روش شبه نیرو انجام می‌شود. اثرات P-Δ نیز با اضافه کردن یک ماتریس سختی هندسی به ماتریس سختی عضوها در نظر گرفته می‌شود.<sup>[۲]</sup>

### میراگرهای لزج مایع

سیستم‌های مستهلك کننده انرژی را عموماً می‌توان به سیستم‌های هیسترتیک — که به تغییر مکان وابسته‌اند — و سیستم‌های لزج — که به سرعت وابسته‌اند — تقسیم کرد. یکی از سیستم‌های لزج، میراگرهای لزج مایع‌اند. میراگرهای لزج مایع با عبور جریان مایع از میان مجاری تعییه شده در یک پیستون، باعث تبدیل انرژی مکانیکی به انرژی گرمایی می‌شوند. این میراگرها تنها چند سالی است که به عنوان ابزار مستهلك کننده انرژی لرزه‌ی در ساختمان‌ها مورد استفاده قرار گرفته‌اند که عموماً در بادبندهای قطری یا ۸ شکل نصب می‌شوند، اما پیش از این کاربردهای متعددی در زمینه‌ی ایزو لاسیون ارتعاش و ضربه در تجهیزات نظامی و فضایی، و اخیراً نیز در سیستم‌های جداسازی لرزه‌ی داشته‌اند.

رفتار لزج خطی، عدم حساسیت به تغییرات دما، ابعاد کوچک در مقایسه با نیروی متحمل شده، درجه‌ی اطمینان بالا و عمر طولانی برخی از مشخصه‌های جذاب این نوع میراگرها هستند. در شکل ۱ ساختار یک میراگر لزج مایع و در شکل ۲ قابی که در آن میراگرهای لزج به صورت قطری نصب شده‌اند، نشان داده شده است. این نوع میراگرها در محدوده‌ی فرکانس‌های طبیعی ساختمان‌های متدداول، عموماً رفتار لزج خطی دارند و نیروی تعادلی به صورت زیر از خود نشان می‌دهند:

$$F_d(t) = Cu(t) \quad (1)$$

که در آن  $C$  ثابت میراگر و  $u$  سرعت نسبی حرکت دو انتهای میراگر است.

اگر میراگر تحت حرکتی همساز به صورت زیر قرار گیرد:

$$u(t) = u_0 \sin \Omega t \quad (2)$$

که در آن  $\Omega$  فرکانس دورانی نوسان باشد، در این صورت نیروی

چند ساختمان در برابر بارهای لرزه‌ی استفاده کرده است.<sup>[۳]</sup> اما هنوز تحقیقات جامعی پیرامون کاربرد این میراگرهای در ساختمان‌های مختلف، که راه‌گشای مهندسین سازه در این زمینه باشد، انجام نشده است و تحقیقات فوق عمدتاً در یک سازه‌ی مشخص و با میراگرهایی با خصوصیات معین صورت گرفته است.

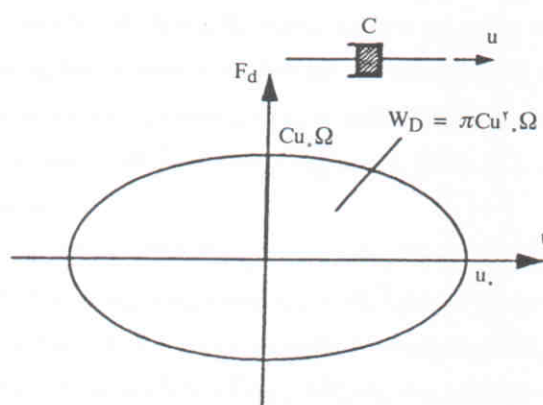
در این تحقیق، تلاش شده است تا کارایی میراگرهای لزج مایع در مقاوم‌سازی ساختمان‌های بتن آرم در برابر زلزله مورد بررسی قرار گیرد و با تغییر پارامترهای مختلف اثر گذار بر آن، از جمله خصوصیات ساختمان پتنی، ویژگی‌های میراگر مورد استفاده و نوع زلزله‌ی تحمیلی، به نتایج به دست آمده جامعیت لازم داده شود. از آنجاکه هدف این تحقیق، کاهش آسیب‌های ناشی از تغییر شکل‌های غیرخطی است، از روش تحلیل غیرخطی استفاده شده است. در ادامه، به چگونگی تحلیل غیرخطی ساختمان‌های بتن آرم و میراگرهای لزج می‌پردازم.

**روش تحلیل دینامیکی غیرخطی ساختمان‌های بتن آرم**  
در اینجا برای تحلیل غیرخطی مدل‌های مورد نظر از برنامه‌ی IDARC 4.0 استفاده شده است. این برنامه که عمدتاً در کارهای تحقیقاتی مورد استفاده قرار می‌گیرد، در مقایسه با سایر برنامه‌های غیرخطی، از قابلیت‌های بالایی در تحلیل غیرخطی دو بعدی ساختمان‌های بتن آرم بروخوردار است و به کمک آن می‌توان میراگرهای مختلف را نیز در قاب‌ها مدل کرد. در این برنامه فرض بر این است که دیافراگم‌های کف طبقات به صورت پیوندهای صلب عمل می‌کنند. در نتیجه در هر طبقه تنها یک درجه آزادی مورد نیاز خواهد بود. بنابراین ساختمان به صورت تعدادی از قاب‌های عمودی که به وسیله‌ی دیافراگم‌های صلب افقی به هم مرتبط شده‌اند، مدل شده است.

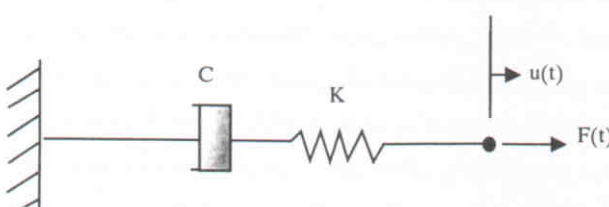
در برنامه‌ی IDARC می‌توان در عضوهای سازه‌ی، تغییر شکل‌های خمی، برشی و محوری را در نظر گرفت، اما تنها در عضو تیر از تغییر شکل‌های محوری صرف نظر شده است. تغییر شکل‌های برشی و خمی در یک فرمولاسیون شکل دهی خمیری گستردۀ با هم ترکیب شده‌اند. در این مدل، رفتار غیرخطی تنها به گره‌های عضو اختصاص داده نمی‌شود بلکه مقاطع مختلف در طول عضو، بسته به میزان غیرخطی شدن، مشخصه‌های نرمی متفاوتی دارند. در این برنامه برای مدل کردن رفتار هیسترتیک عضوهای بتن مسلح در برش و خمی، از مدل سه‌پارامتری پارک — که به خوبی می‌تواند رفتار هیسترتیک عضوهای بتن آرمی مختلف را با تغییر را با پارامتر نماینده‌ی کاهش سختی، کاهش مقاومت و اثر نورکاری در مقطع مورد نظر مدل کند — استفاده شده است.

این مدل‌ها باید نماینده‌ی دو گروه از ساختمان‌ها باشند؛ یک گروه ساختمان‌هایی بتنی هستند که به علت عدم وجود مقررات دقیق آئین نامه‌ی برای طراحی لزله‌های در زمان ساخت، مقاومت و نرمی لازم برای تحمل این زلزله‌های متوسط و شدید را ندارند، و دیگری ساختمان‌هایی که لازم است از ابتدا با کمک میراگرهای لزج در برابر بارهای زلزله طراحی شوند، در نتیجه خود ساختمان به تنها‌ی در برابر این بارها مقاوم نیست. برای این منظور در این تحقیق، قاب‌ها برای تمام بار ژلی به همراه ۷۵٪ بار جانبی زلزله پیشنهادی آئین نامه‌ی ۲۸۰۰ ایران طراحی شده‌اند تا از این طریق مدل‌های ایجاد شده نیازمند اصلاح لرزه‌ی باشند. بارگذاری‌های ژلی و زلزله براساس یک ساختمان مسکونی متعارف در منطقه‌ی با خطر نسبی بالا انجام گرفته‌اند. مصالح نیز از مصالح رایج در ایران انتخاب شده‌اند.

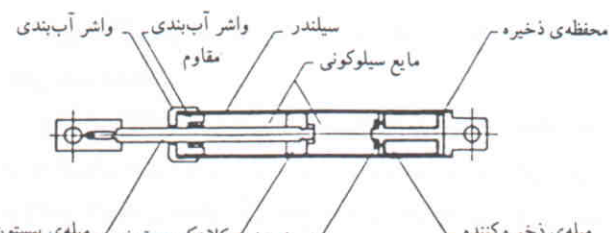
تحلیل کشسان مدل‌های اولیه—به منظور طراحی این مدل‌ها—با استفاده از برنامه‌ی آشنای SAP انجام شده و طراحی قاب‌ها نیز به کمک برنامه‌ی SAPCON و از روش مقاومت نهایی صورت گرفته است. در مرحله‌ی طراحی، نوع تیرها و ستون‌ها هر سه طبقه یک بار تغییر کرده و طرح ستون‌های داخلی و خارجی متفاوت است. به هر قاب یک شماره‌ی مشخصه تعلق گرفته که به صورت «عرض دهانه (m) – تعداد طبقات» نشان داده می‌شود. مثلاً منظور از قاب ۵–۶ (m) یعنی چهار طبقه با عرض دهانه‌ی ۵ متر است.



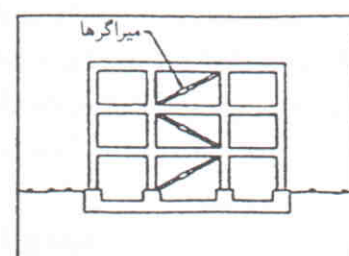
شکل ۳. ابزار میرایی خطی.



شکل ۴. مدل میراگر لزج و بادیند قطری.



شکل ۱. ساختمان میراگر لزج مایع.



شکل ۲. میراگرها در بادیندهای قطری.

میراگر برابر است با:

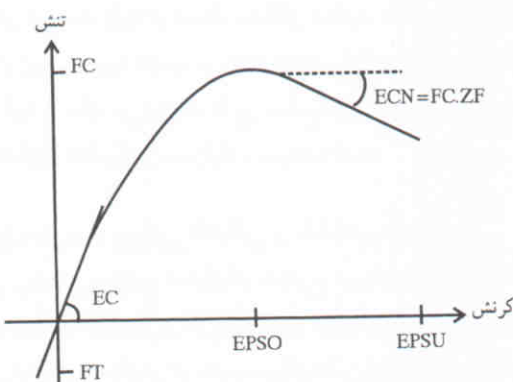
$$F_d(t) = Cu_0 \Omega \cos \Omega t \quad (3)$$

با حذف زمان از رابطه‌های ۲ و ۳ رابطه‌ی بین نیرو و تغییر مکان به صورت زیر به دست می‌آید:

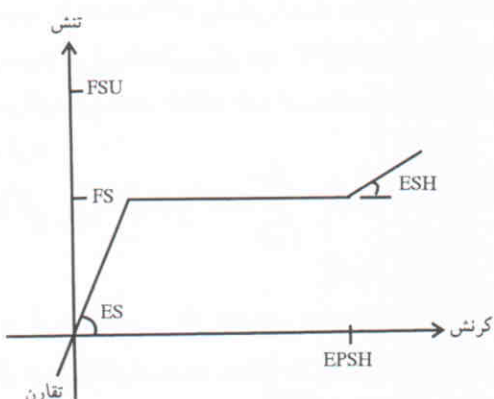
$$\left( \frac{F_d}{Cu_0 \Omega} \right)^2 + \left( \frac{u}{u_0} \right)^2 = 1$$

در نتیجه نمودار نیرو-تغییر مکان میراگر لزج خطی، به صورت نشان داده شده در شکل ۳ خواهد بود که در این شکل  $W_D$  انحراف مستهلک شده به وسیله‌ی میراگر در یک چرخه است. برای مدل کردن مجموعه‌ی بادیند قطری و میراگر نیز می‌توان از یک میراگر لزج خطی با ثابت میرایی  $C$  و یک فنر خطی با سختی  $K$  که به هم سری شده‌اند، استفاده کرد. (شکل ۴)

**طراحی مدل اولیه‌ی ساختمان‌های بتن‌آرمی**  
قدم اول در بررسی اثر میراگرها آن است که مدل‌هایی از ساختمان‌های بتن‌آرمی ایجاد کنیم تا بتوانیم اثرات زلزله را بر روی این مدل‌ها—با میراگرها و بدون آنها—بررسی کنیم. در این تحقیق ساختمان‌های بتن‌آرمی به صورت قاب‌های دو بعدی مدل شده‌اند که هر قاب تنها در صفحه‌ی خود تغییر مکان می‌دهد. تعداد قاب‌هایی که مبنای تحلیل قرار خواهد گرفت، ۹ عدد هستند که دارای تعداد طبقات و عرض دهانه‌های مختلف‌اند. این قاب‌ها شامل سه قاب یک طبقه، سه قاب پنج طبقه و سه قاب ده طبقه هستند که هر کدام دارای سه دهانه بوده و عرض دهانه‌ها در قاب‌های مختلف، ۴، ۶ و ۸ متر است. ارتفاع تمام طبقات نیز ۳ متر در نظر گرفته شده است.



شکل ۵. منحنی تنش - کرنش بتن.



شکل ۶. منحنی تنش - کرنش فولاد.

نوردکاری (۶) برای این مدل به ترتیب برابر  $2/0$ ،  $1/0$  و  $5/0$  اختیار شدند تا مدلی شبیه به مدل Takeda حاصل آید.<sup>[۶]</sup> مدل از مدل‌هایی است که تطابق بسیار خوبی با رفتار واقعی عضوهای بتن آرمهی خمشی دارد.<sup>[۷]</sup>

در این تحقیق برای مدل کردن هر عضو قاب، به اندازه‌ی نصف بعد اتصال در هر طرف عضو، ناحیه‌ی صلب در نظر گرفته شده تا بدین‌وسیله اثر افزایش سختی عضوهای در محل اتصالات منظور شود. اثرات P-Δ نیز در تحلیل‌ها در نظر گرفته شده است. درصد میرایی ذاتی (۸) برای مود اول و دوم ارتعاش سازه برابر ۵٪ میرایی بحرانی در نظر گرفته شده که برای ساختمان‌های بتن آرمه‌ی که وارد محدوده‌ی غیرخطی می‌شوند، فرض مناسبی است. ماتریس میرایی ذاتی [C] از روش رالی، به کمک ماتریس‌های سختی و جرم، و براساس درصد میرایی ذاتی مودهای اول و دوم محاسبه می‌شود.

با توجه به فرضیات فوق، مدل غیرخطی قاب‌های بتن آرمه شکل می‌گیرد و تحلیل‌های تاریخچه‌ی زمانی تحت زلزله‌های مختلف صورت می‌گیرد. در این تحقیق مؤلفه‌ی افقی سه زلزله‌ی استندر (PGA =  $0/348g$ )، اوکلند (PGA =  $0/276g$ ) و مکزیکوستی (PGA =  $0/09g$ ) مبنای تحلیل‌های تاریخچه‌ی زمانی قرار

### مدل غیرخطی قاب‌های طراحی شده

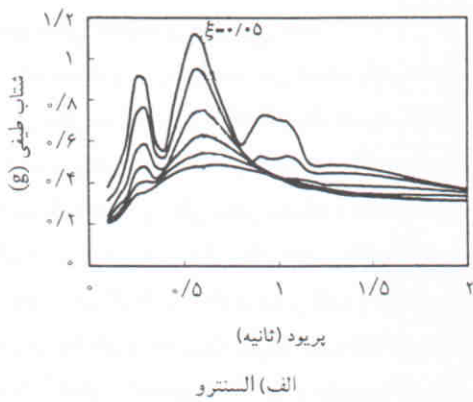
بعد از آنکه قاب‌های مورد نظر طراحی شدند، باید به منظور انجام تحلیل غیرخطی در برنامه‌ی IDARC مدل شوند. در این تحقیق قاب‌های موازی در یک ساختمان مجهر به میراگر، به صورت یک در میان به میراگرها لزج خطی مجهر شده‌اند و کف طبقات به صورت دیافراگم صلب فرض شده تا این قاب‌های موازی دارای تغییر مکان یکسان باشند. میراگرها در دهانه‌ی میانی قاب و در تمام طبقات آن با خصوصیات یکسان و به صورت قطری نصب شده‌اند. (شکل ۲)

نمودار گشتاور-انحنای مقاطعه تیر و ستون با استفاده از مدل لایه‌ی و با توجه به منحنی تنش-کرنش فولاد و بتن در هر لایه‌ی آن مقطع به دست آمده است. در شکل ۵ منحنی تنش-کرنش بتن برای بتن محصور در خاموت‌های مستطیلی، به روشنی شناخته شده<sup>[۵]</sup> رسم شده است. در این تحقیق با استفاده از این منحنی که به خوبی رفتار بتن را مدل می‌کند، مقادیر منظور شده برای پارامترها به صورت زیر است:

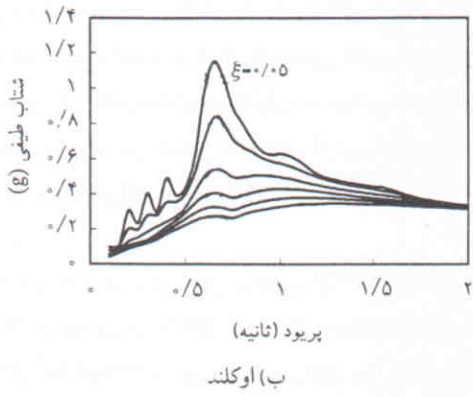
مقاومت فشاری بتن غیر محصور  $[f'_c] = 280 \text{ kg/cm}^2$ ؛  
مدول الاستیسیته‌ی بتن ( $EC = 2/5 \times 10^5 \text{ kg/cm}^2$ ؛ مقاومت کششی بتن ( $FT = 34 \text{ kg/cm}^2$ )؛ کرنش بتن در حداکثر تنش فشاری ( $EPSO$ ) برابر  $0/002$ ؛ و شبیه شاخصی نزولی منحنی ( $ZF$ ) بسته به میزان محصور شدگی بتن و براساس خاموت‌های عرضی تعیین می‌شود. در قاب‌های مورد نظر، تیرها با خاموت‌های مستطیلی به قطر  $10 \text{ mm}$  محصور شده‌اند که فاصله‌ی آنها در نزدیکی اتصالات  $10 \text{ cm}$  است. ستون‌ها نیز دارای خاموت‌های مربعی با قطر  $10 \text{ mm}$  و به فاصله‌ی  $35 \text{ cm}$  هستند. نتیجه‌ی این نوع خاموت‌گذاری، قاب بتن آرمه‌ی با شکل پذیری کم است که با شبیه‌ی اجرای بسیاری از ساختمان‌های موجود مطابقت بیشتری دارد.

منحنی تنش-کرنش مورد استفاده برای فولاد آرماتورها که یک تقریب ساده‌خطی از رفتار واقعی فولاد است، در شکل ۶ نشان داده شده است. مقادیر پارامترهای مشخصه‌ی این منحنی عبارت اند از: مقاومت تسلیم فولاد ( $F_y$ )  $= 4000 \text{ kg/cm}^2$ ؛ مدول الاستیسیته‌ی فولاد ( $ES = 2 \times 10^6 \text{ kg/cm}^2$ )؛ مقاومت نهایی فولاد ( $FSU = 5600 \text{ kg/cm}^2$ )؛ مدول الاستیسیته در مرحله‌ی سخت شدگی ( $ESH = 1/35 \times 10^4 \text{ kg/cm}^2$ )؛ و کرنش فولاد در شروع مرحله‌ی سخت شدگی ( $EPSH$ ) برابر  $0/03$  منظور شده‌اند.

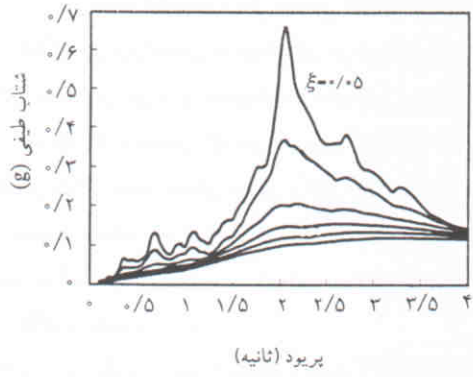
بعد از محاسبه‌ی منحنی گشتاور-انحنای در وجود هر عضو باید رفتار هیسترتیک این مقاطعه برای انجام یک تحلیل دینامیکی غیرخطی مشخص شود. همان‌طور که گفته شد، برنامه‌ی IDARC از مدل سه‌پارامتری پارک برای تعیین منحنی پسماند<sup>۳</sup> عضو استفاده می‌کند. پارامترهای کاهش سختی (α)، کاهش مقاومت (β) و اثر



(الف) استرو



(ب) اوکلن



(ج) مکزیکوسیتی

شکل ۷. طیف شتاب زلزله ها

دهانه‌ی عمرت تحت زلزله‌ی استرو مشاهده کنیم تا نحوه‌ی عملکرد میراگرهای را در اصلاح رفتار لرزه‌ی ساختمان‌های بتن آرمه دریابیم. برای این منظور در تمام طبقات قاب‌های مذکور، میراگرهایی با ثابت میرایی  $\frac{kN.S}{mm} 5$  نصب می‌کنیم. درصد میرایی الحاقی ناشی از نصب این میراگرهای در قاب‌های پنج و ده طبقه براساس جدول ۱ به ترتیب در حدود ۳۰٪ و ۱۵٪ است.

(الف) کاهش تغییر مکان‌ها  
نصب میراگرهای لزج، تغییر مکان طبقات قاب‌ها را تا حد زیادی

گرفته‌اند. این سه زلزله از لحاظ حداکثر شتاب، مدت زمان لرزش، انرژی لرزه‌یی، پریود تشید و ... تقاضاهای زیادی با هم دارند که با اعمال آنها به سازه می‌توان به نتایج جامعه‌تری دست پیدا کرد. در شکل ۷ طیف شتاب این سه زلزله رسم شده است.

### توصیف درصد میرایی الحاقی و شاخص آسیب

قبل از پرداختن به نتایج تحلیل‌ها، به شرح دو پارامتر که در نتایج کاربرد زیادی دارند، می‌پردازیم. یکی از این پارامترها،  $\Delta\theta$  یا نسبت میرایی الحاقی به سازه برای نصب میراگرهای رابطه‌ی آن با ثابت میرایی میراگرهای (C) است. در برخی از منابع روشی برای محاسبه‌ی  $\Delta\theta$  بر حسب C ارائه شده<sup>[۸]</sup> که براساس آن، در سازه‌یی مانند شکل ۲ می‌توان نسبت میرایی الحاقی برای مود  $i$  ( $\Delta\theta_i$ ) را بر حسب ثابت میرایی میراگرهایی که در طبقات قاب نصب شده‌اند، از رابطه‌ی زیر محاسبه کرد:

$$\Delta\theta_i = C \left[ \cos \theta_i \Phi_i + \sum_{j=2}^J \cos \theta_j (\Phi_{ij} - \Phi_{i(j-1)}) \right] / 2\omega_i \sum m_j \Phi_{ij}^2$$

که در آن  $\theta$  زاویه‌ی میراگر با افق در طبقه  $j$ ؛  $J$  تعداد طبقات؛ و  $\Phi$  شکل مودی  $i$  است. در جدول یک مقادیر درصد میرایی الحاقی مود اول ( $\Delta\theta_1$ ) بر حسب C (٪) برای قاب‌های مورد مطالعه محاسبه شده‌اند.

پارامتر دیگر، شاخص آسیب پارک و انگ (Park & Ang) است که در این نوشتار از آن استفاده شده، و برای یک عضو سازه‌یی به صورت زیر تعریف می‌شود:

$$DI_{P\&A} = \frac{\delta_m}{\delta_u} + \frac{\beta}{\delta_u P_y} \int dE_h$$

$\delta_m$  تغییر شکل بیشینه‌ی ایجاد شده در عضو؛  $\delta_u$  تغییر شکل نهایی عضو؛ و  $P_y$  مقاومت نهایی تسلیم عضو است. بعد از هیستوتیک جذب شده توسط عضو و پارامتر ثابت مدل است. بعد از محاسبه‌ی شاخص آسیب عضوها، می‌توان شاخص آسیب هر طبقه، یا کل ساختمان را بدست آورد.

در بخش‌های بعد، نتایج تحلیل‌های غیرخطی به طور خلاصه بیان شده است. لازم به ذکر است که در تمام تحلیل‌های انجام شده، مقاطعه بادیندها به گونه‌یی در نظر گرفته شده‌اند که بادیند در برابر با رهای واردۀ دچار کمانش نشود و میراگرهای بتوانند در تمام چرخدها به طور مؤثر عمل کنند.

### تأثیر میراگرهای بر پاسخ‌های دینامیکی سازه

در بخش نخست نتایج، می‌خواهیم برای نمونه تأثیر میراگرهایی با خصوصیات مشخص را بر روی دو قاب پنج و ده طبقه با عرض

دهم در طول زلزله به کمتر از نصف حالت بدون میراگر تقلیل یافته است اما کاهش این پارامتر در طبقه‌ی سوم چندان زیاد نیست.

### ب) کاهش انرژی هیستریک عضوها

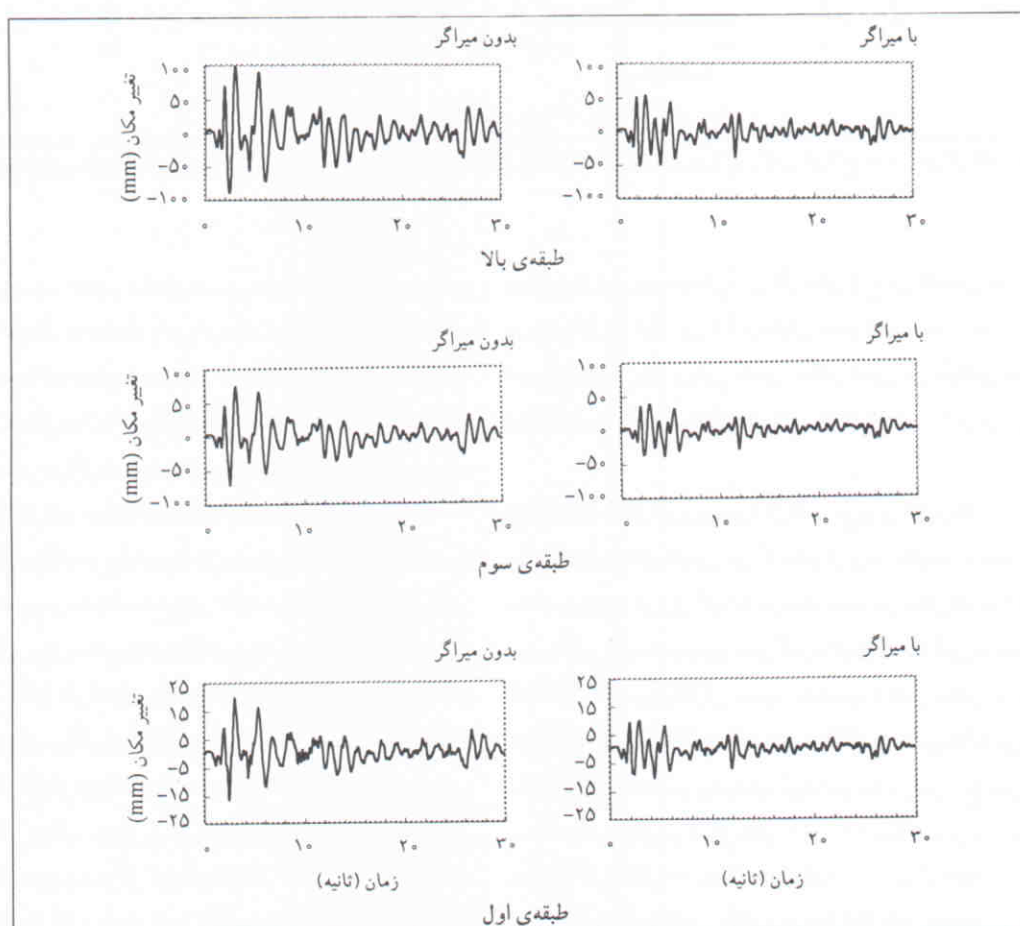
در شکل ۱۰ نمودارهای نیرو-تغییر مکان طبقه‌ی سوم قاب پنج طبقه، برای برش طبقه، برش ستون‌ها و نیروی برشی میراگر رسم شده‌اند. در این شکل چگونگی عملکرد میراگر در کاهش آسیب وارد به عضوهای سازه به خوبی مشخص می‌شود. در نمودارهای پسماند «ب و ه»، مجموع برش ستون‌های طبقه، بر حسب تغییر مکان نسبی طبقه به ترتیب برای قاب‌های بدون میراگر و با میراگر، رسم شده است. با مقایسه‌ی دو نمودار، مشخص می‌شود که تغییر شکل‌های غیر کشسان و اتلاف انرژی هیستریک در ستون‌ها که باعث آسیب دیدگی آنها می‌شود، در قاب مجهز به میراگر، بسیار کمتر از قاب بدون میراگر بوده و رفتار ستون‌ها پس از نصب میراگرها بسیار نزدیک به حالت خطی است. با توجه به نمودار «د» که مؤلفه‌ی افقی نیروی

جدول ۱ مقادیر  $\alpha$  در قاب‌های مورد مطالعه ( $\Delta\xi\% = \alpha C$ )

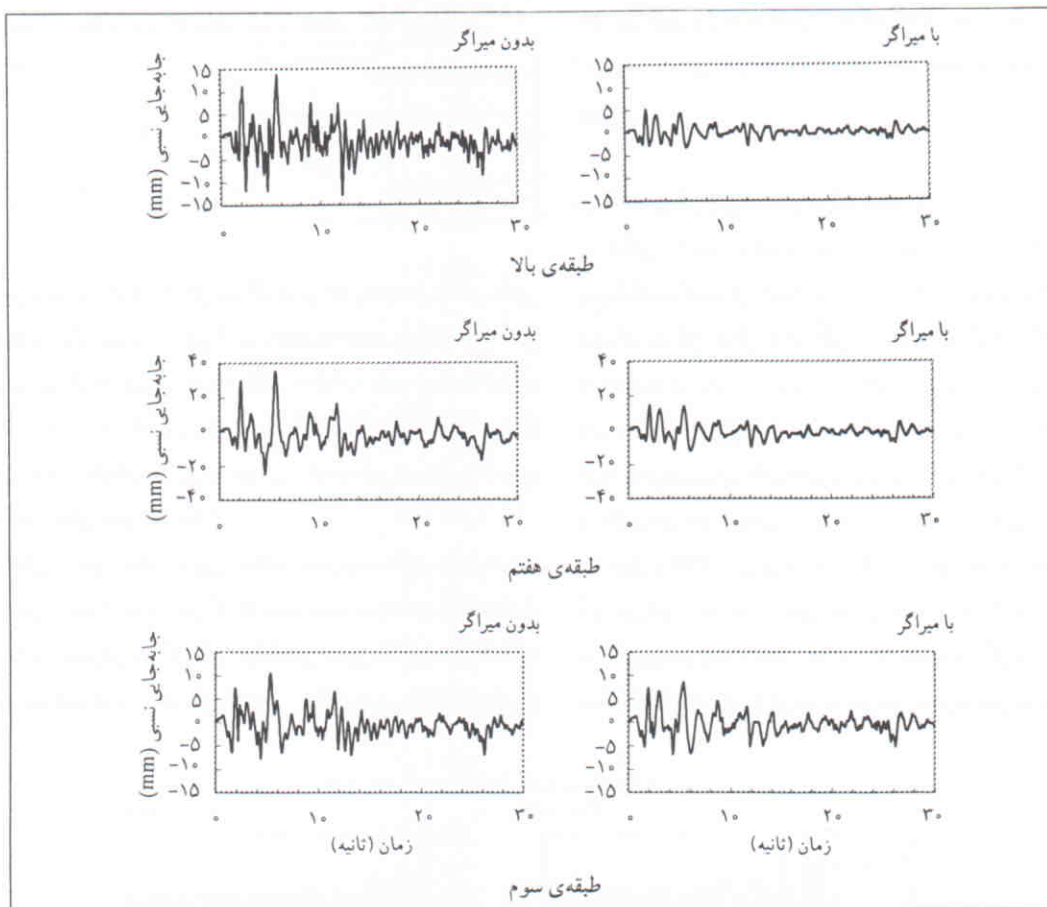
قاب	عرض دهانه‌ها (متر)			تعداد طبقات
	۸	۶	۴	
۱	۱۶/۶	۲۳/۴	۳۱/۵	۱
۵	۴/۸	۵/۹	۷/۵	۵
۱۰	۲/۵	۳	۳/۴	۱۰

کاهش می‌دهد. در شکل ۸، اثر میراگرها بر تاریخچه‌ی زمانی تغییر مکان طبقات اول، سوم و پنجم قاب پنج طبقه دیده می‌شود. در این قاب نصب میراگرها تغییر مکان طبقات مختلف را به حدود نصف کاهش می‌دهد. آنچه که بیش از تغییر مکان مطلق طبقات اهمیت دارد، تغییر مکان طبقات نسبت به هم است که به طور مستقیم با آسیب وارد به عضوهای سازه مرتبط است.

در شکل ۹ تغییر مکان نسبی طبقات سوم، هفتم و دهم قاب ده طبقه، قبل و بعد از نصب میراگرها رسم شده است. در این شکل می‌توان تأثیر بهسازی میراگرها را در کاهش تغییر مکان نسبی طبقات این قاب مشاهده کرد. به طوری که تغییر مکان نسبی طبقات هفتم و



شکل ۸. تاریخچه‌ی زمانی تغییر مکان طبقات اول، سوم و پنجم قاب پنج طبقه (۵-۶) در قاب بدون میراگر و قاب اصلاح شده با میراگر ( $\Delta\xi\% = 30\%$ ) تحت زلزله‌ی استنزو.



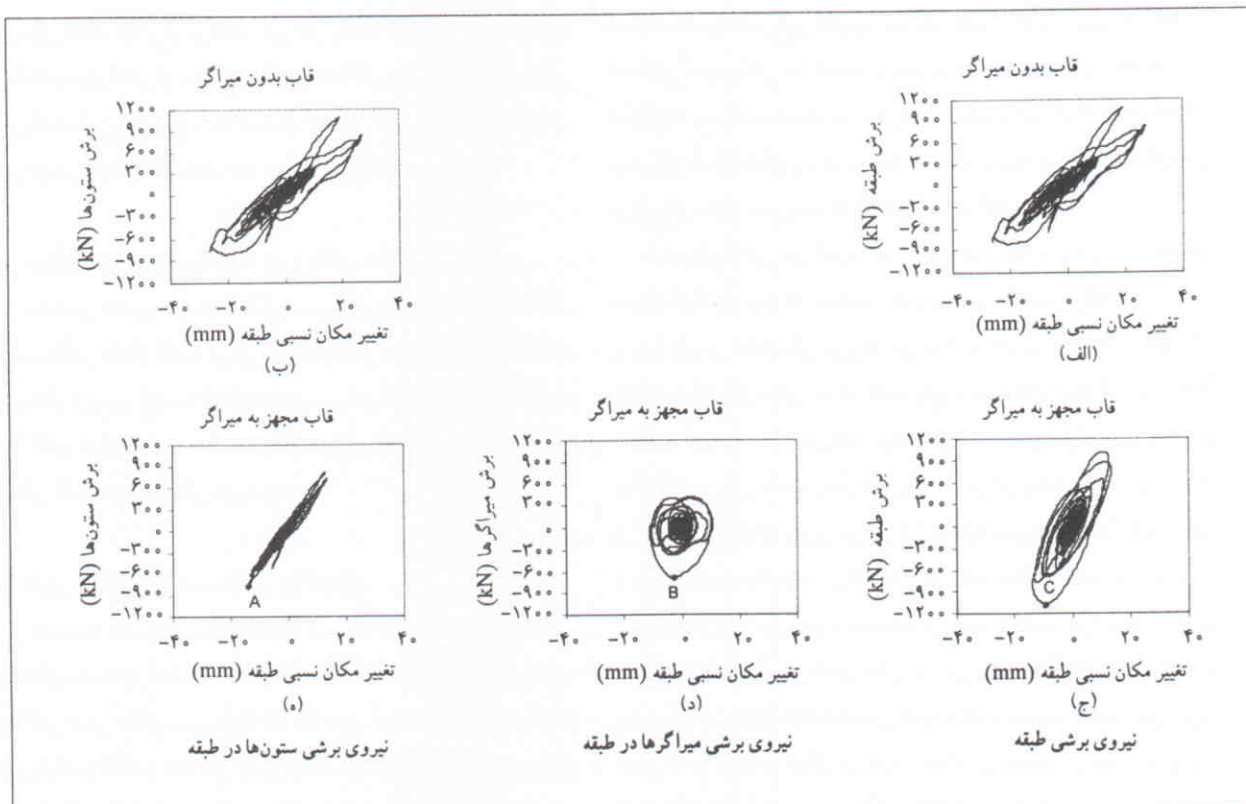
شکل ۹. تاریخچه‌ی زمانی تغییر مکان نسبی طبقات سوم، هفتم و دهم قاب بدون میراگر و قاب اصلاح شده با میراگر ( $\Delta G = 15\%$ ) تحت زلزله‌ی استرو.

دیگری از نحوه‌ی عملکرد میراگرهای لزج در کاهش آسیب وارد به عضوها، در شکل ۱۱ نمایش داده شده است. در این شکل، نمودارهای نیروی برشی-تغییر مکان نسبی در طبقه‌ی هفتم قاب ده طبقه رسم شده است که تاییجی مشابه شکل ۱۰ در بردارد.

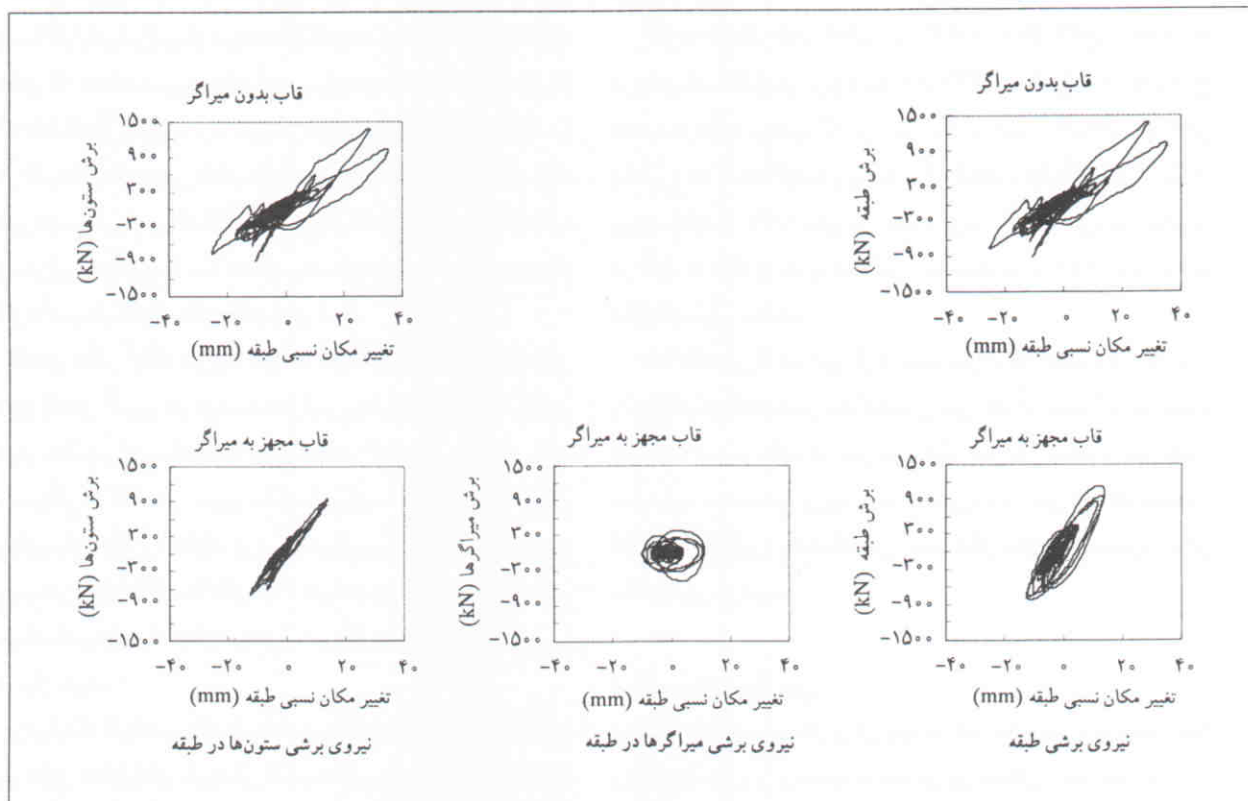
(ج) اختلاف فاز نیروی میراگرهای و نیروی عضوها  
یکی از مزیت‌های اصلی میراگرهای لزج در مقایسه با سایر میراگرهای مناسب بودن نیروی آنها با سرعت است در حالی که در اکثر انواع میراگرهای همچون میراگرهای اصطکاکی و میراگرهای کشسانی-خمیری فلزی-نیرو مناسب با تغییر مکان است. در نتیجه در میراگرهای لزج، نیروی برشی و لنگر در ستون‌ها با نیروی میراگر اختلاف فاز داشته و بیشینه‌ی آن‌ها در یک زمان رخ نمی‌دهد. این مسئله را می‌توان در شکل‌های ۱۰ و ۱۱ مشاهده کرد. بدغونه مثال، چنان‌که در شکل ۱۰ مشاهده می‌کنید، در نمودار «ه» حداکثر نیروی برشی ستون‌ها در تغییر مکان بیشینه ( نقطه A ) رخ داده، در حالی که در نمودار «د» بیشینه‌ی نیروی برش ناشی از میراگرهای نزدیک به تغییر

میراگر لزج را بر حسب تغییر مکان نسبی طبقه نشان می‌دهد و مقایسه‌ی آن با نمودار «ه» معلوم می‌شود که بخش عمده‌ی اتفاق ارزی لرزه‌بی، در قاب مجهز به میراگر، در میراگرهای صورت می‌گیرد تا در عضوهای اصلی سازه؛ چراکه سطح محصور در نمودار «د» که ارزی تلف شده در میراگر است، بسیار بیشتر از سطح محصور در نمودار «ه»، یعنی ارزی هیستوتیک تلف شده در ستون‌ها است.

در نمودارهای «الف و ج» این شکل، برش طبقه بر حسب تغییر مکان نسبی طبقه رسم شده است. برش طبقه در قاب بدون میراگر (نمودار الف) برابر برش ستون‌های طبقه بوده و در قاب مجهز به میراگر (نمودار ج) در هر لحظه برابر با مجموع برش ستون‌ها و مؤلفه‌ی افقی نیروی میراگر در آن طبقه است. سطح محصور در این دو نمودار، حاکی از کل ارزی تلف شده در طبقه است که مقدار آن در قاب بدون میراگر و قاب مجهز به میراگر، نزدیک به هم است، با این تفاوت که در قاب بدون میراگر این ارزی در عضوهای اصلی سازه تلف می‌شود ولی در قاب مجهز به میراگر، عمده‌ی اتفاق ارزی در میراگرهایی است که به همین منظور در سازه تعییه شده‌اند. نمونه‌ی



شکل ۱۰. نمودارهای نیروی برشی - تغییر مکان نسبی برای طبقه سوم قاب پنج طبقه (۵-۶) تحت زلزله‌ی استنترو



شکل ۱۱. نمودارهای نیروی برشی - تغییر مکان نسبی برای طبقه هفتم قاب ده طبقه (۶-۱۰) تحت زلزله‌ی استنترو

شده است. براساس این نتایج، حداکثر تغییر مکان نسبی طبقات و شاخص آسیب کلی ساختمان بر حسب درصد میرایی الحاقی در شکل ۱۵ رسم شده است. در تمام موارد، نصب میراگرها باعث کاهش چشم‌گیر آسیب‌های وارده به سازه در اثر زلزله می‌شود و با افزایش میرایی از حدی معین، روند کاهش آسیب کند می‌شود.

اما میزان تأثیر میراگرها در تمام قاب‌ها و تحت زلزله‌های مختلف یکسان نیست. عمدتی تفاوت‌ها به ماهیت فرکانسی زلزله و پریود طبیعی ساختمان مربوط می‌شود. به عنوان مثال، در شکل ۱۵ زلزله‌ی مکزیکوسیتی در دو قاب پنج و ده طبقه، عملکردی کاملاً متفاوت از خود نشان می‌دهد. بیشینه‌ی شتاب این زلزله از دو زلزله دیگر کمتر، ولی مدت زمان تحریک مؤثر آن بیشتر است. این زلزله در قاب پنج طبقه‌ی بدون میراگر ( $=5\%$ ) نسبت به دو زلزله دیگر کمترین آسیب را ایجاد می‌کند ولی در قاب ده‌طبقه بیشترین خرابی را به همراه دارد. با این وجود مشاهده می‌کنیم که نصب میراگرها در قاب ده‌طبقه به شدت آسیب‌های ناشی از این زلزله را کاهش می‌دهد تا جایی که در  $=5\%$  شاخص آسیب قاب ده‌طبقه تحت این زلزله کمتر از دو زلزله دیگر می‌شود. علت این مسئله آن است که پریود طبیعی قاب ده‌طبقه بدون میراگر  $1/325$  است که این پریود در جریان زلزله به‌سبب تغییر شکل‌های غیرخطی عضوهای سازه افزایش می‌یابد.

اگر به نمودار طیف شتاب این زلزله در شکل (۷) توجه کنیم می‌بینیم که با افزایش پریود سازه از  $1/325$ ، پاسخ سازه به پاسخ تشدید نزدیک می‌شود که این خود باعث تغییر مکان‌های غیرخطی بیشتر، و در نتیجه افزایش پریود سازه گشته و نهایتاً در پایان زلزله، پریود سازه به  $2/35$  یعنی در حدود پریود تشدید می‌رسد. بنابراین در قاب ده‌طبقه‌ی بدون میراگر، آسیب‌های سازه تحت زلزله مکزیکوسیتی زیادند.

اما علت این که در این زلزله نصب میراگرها آسیب وارده به سازه را در قاب ده‌طبقه به سرعت کاهش می‌دهد آن است که با نصب میراگرها پریود سازه در جریان زلزله افزایش کمتری می‌یابد و سازه‌وارد محدوده‌ی پریود تشدید نمی‌شود. این مسئله به همراه اثر افزایش میرایی، باعث کاهش آسیب‌های سازه‌یی به میزان قابل ملاحظه‌ی می‌شود.

#### ب) نیروهای سازه‌یی

در شکل ۱۶ الف حداکثر برش پایه در قاب‌های پنج و ده طبقه، تحت زلزله‌ی استنترو و بر حسب درصد میرایی الحاقی رسم شده است. در قاب‌های ده‌طبقه، برش پایه حتی در درصدهای میرایی بالا، نسبت به

مکان صفر ( نقطه B ) رخ می‌دهد. این امر باعث می‌شود که بیشینه‌ی برش طبقه بسیار کمتر از مجموع مقادیر حداکثر برش ستون‌ها و برش میراگر باشد. این موضوع با مقایسه‌ی حداکثر نیرو در نمودار «ج» و مقادیر آن در نمودارهای «د و ه» مشخص می‌شود.

#### تأثیر میزان میرایی میراگرها بر رفتار سازه

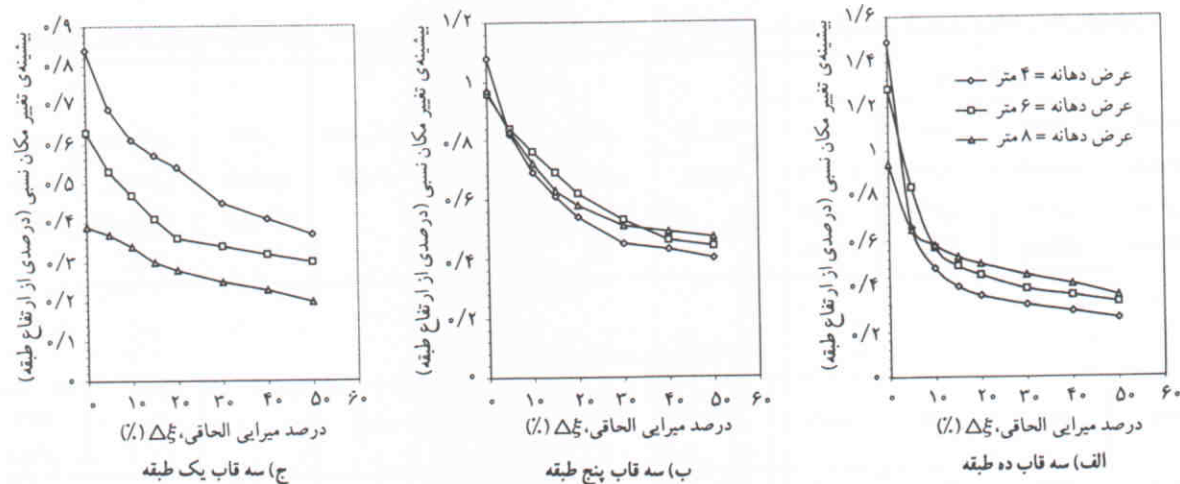
بعد از مشخص شدن نحوه‌ی عملکرد میراگرها در ساختمان‌های بتن آرم، تأثیر مقدار ثابت میرایی میراگرها بر میزان کارایی آنها در بهبود رفتار لرزه‌یی این ساختمان‌ها بررسی می‌شود. برای این منظور، تمام ۹ قاب طراحی شده با درصدهای میرایی الحاقی مختلف تحلیل غیرخطی تاریخچه‌ی زمانی می‌شوند.

#### الف) تغییر مکان‌ها و آسیب‌های ساختمان

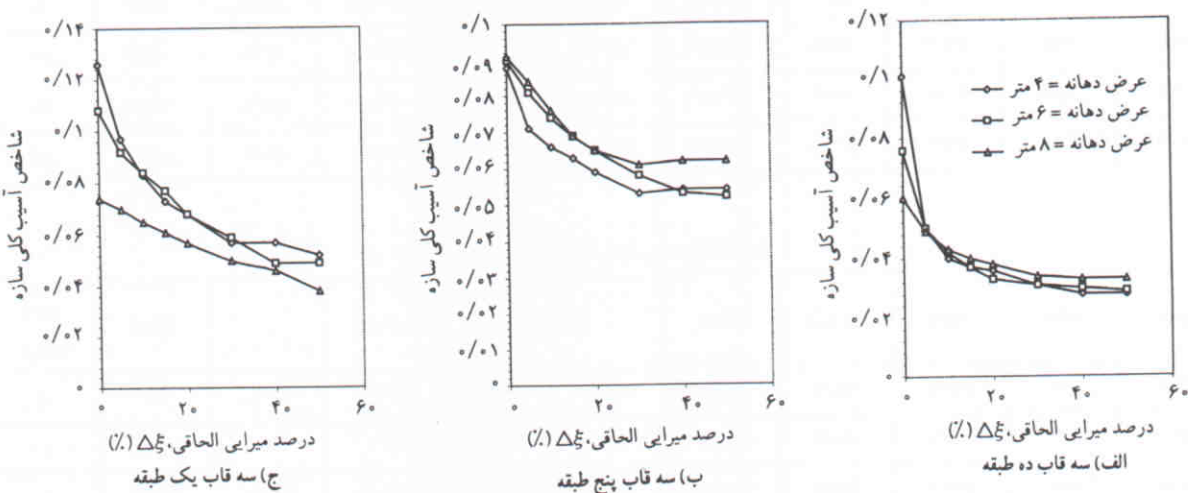
در این قسمت، اصلاح ساختمان‌ها توسط میراگرها و کاهش آسیب‌های وارده به آنها، با سه معیار سنجیده شده است که عبارت‌اند از حداکثر تغییر مکان نسبی طبقات، شاخص آسیب کلی ساختمان از روش پارک و انگ و حداکثر تغییر مکان طبقه‌ی آخر. این سه معیار برای تمام قاب‌های مورد مطالعه تحت زلزله‌ی استنترو به ترتیب در شکل‌های ۱۲، ۱۳ و ۱۴ بر حسب درصد میرایی الحاقی رسم شده‌اند. کاهش تغییر مکان‌ها و آسیب وارده به ساختمان در ابتدا سریع است و با افزایش میرایی، از سرعت آن کاسته می‌شود. به عنوان مثال، در شکل ۱۳ مشاهده می‌شود که آسیب وارده به قاب‌ها عمده‌ای قبل از  $=30\%$  کاهش می‌یابد و با افزایش میرایی بیش از این مقدار، در بیشتر قاب‌ها، به خصوص قاب‌های پنج و ده‌طبقه، آسیب سازه کاهش محسوسی نمی‌یابد. این موضوع از نکات مهم در انتخاب میزان میرایی الحاقی به ساختمان، به منظور بهره‌گیری بهینه از میراگرها و رعایت ملاحظات اقتصادی است.

نکته‌ی دیگر آن که هر چه طبقات قاب افزایش می‌یابد، بخش عمدتی کاهش آسیب در درصد میرایی پایین‌تری رخ می‌دهد. به عنوان مثال در قاب‌هایی با عرض دهانه‌ی ۶ متر، اگر بخواهیم با نصب میراگرها، شاخص آسیب ساختمان را به نصف برسانیم، در قاب‌های یک، پنج و ده‌طبقه، درصد میرایی الحاقی مورد نیاز به ترتیب در حدود  $45\%$ ،  $35\%$  و  $25\%$  خواهد بود. البته این بدان معنی نیست که قاب‌های با طبقات بیشتر به میراگرها می‌یابند. اثراً میرایی کمتر نیاز دارند.

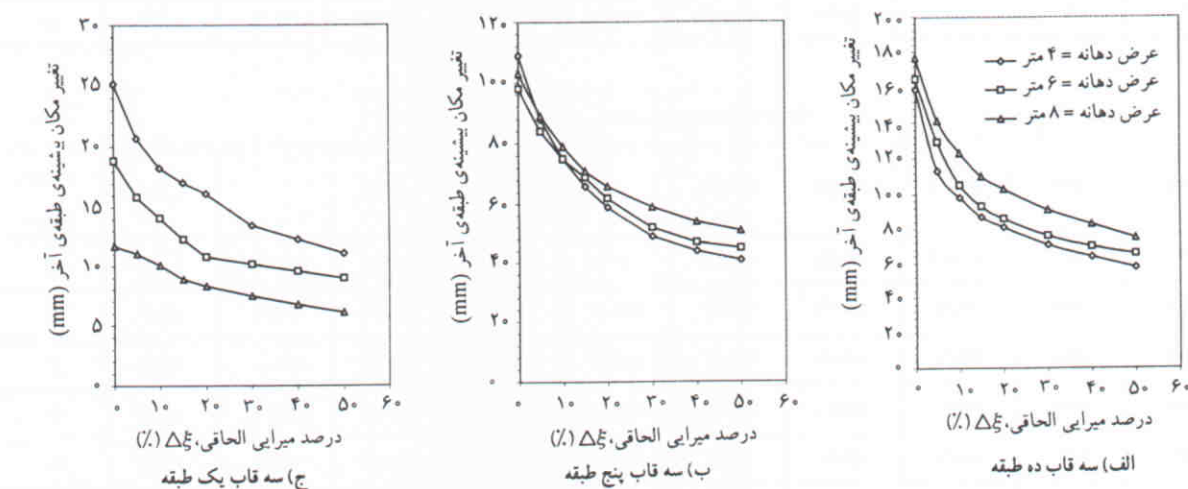
برای اینکه اثرات میراگرها را تحت زلزله‌های دیگر نیز مشاهده کنیم، نتایج تحلیل‌های غیرخطی قاب‌های پنج و ده طبقه تحت زلزله‌های اوکلند، مکزیکوسیتی و استنترو در جداول ۲ و ۳ خلاصه



شکل ۱۲. تأثیر درصد میرایی الحاقی توسط میراگرها بر بیشینه‌ی تغییر مکان نسبی طبقات تحت زلزله‌ی استنزو.



شکل ۱۳. تأثیر درصد میرایی الحاقی توسط میراگرها بر شاخص آسیب کلی سازه تحت زلزله‌ی استنزو.



شکل ۱۴. تأثیر درصد میرایی الحاقی توسط میراگرها بر تغییر مکان بیشینه‌ی نسبی طبقه‌ی آخر زلزله‌ی استنزو.

جدول ۲. حداکثر پاسخهای دینامیکی قاب پنج طبقه (۵) با درصدهای میرایی الحاقی مختلف تحت زلزله‌های السنترو، اوکلند و مکزیکوسیتی

پاسخ طبقه‌ی اول				برش پایه (kN)	کاهش جاده‌جایی طبقه‌ی بالا (%)	جاده‌جایی طبقه‌ی بالا (mm)	شاخص آسیب کلی سازه	کاهش جاده‌جایی نسبی (%)	بیشینه‌ی جاده‌جایی نسبی (%)	درصد میرایی الحاقی
گشتاور پایه‌ستون داخلی (kN.m)	گشتاور پایه‌ستون خارجی (kN.m)	برش ستون داخلی (kN)	برش ستون خارجی (kN)							

زلزله‌ی السنترو (شتاب بیشینه =  $0.348g$ )

۴۳۵	۳۵۲	۴۴/۴	۵۵/۲	۱۱۷۶/۴		۹۸/۷	۰/۰۹		۰/۹۶	بدون میراگر
۴۱۹	۳۳۷	۴۴/۰	۵۳/۱	۱۱۶۱/۴	۱۴/۲۹	۸۴/۶	۰/۰۸۱	۱۲/۵	۰/۸۴	۵
۴۰۰	۳۱۹	۴۲/۹	۵۱/۷	۱۱۷۷/۵	۲۳/۲۰	۷۵/۸	۰/۰۷۴	۲۰/۸	۰/۷۶	۱۰
۳۷۰	۳۰۹	۴۲/۵	۴۸/۳	۱۳۰۰/۴	۳۶/۷۸	۶۲/۴	۰/۰۶۵	۳۵/۴	۰/۶۲	۲۰
۳۵۴	۲۹۵	۴۲/۴	۴۴/۵	۱۵۵۴/۱	۴۶/۸۱	۵۲/۵	۰/۰۵۸	۴۴/۸	۰/۵۳	۳۰
۲۴۷	۲۸۹	۴۰/۲	۴۲/۳	۱۷۹۴/۰	۵۱/۵۷	۴۷/۸	۰/۰۵۳	۵۲/۱	۰/۴۶	۴۰
۲۴۶	۲۸۳	۳۷/۹	۳۹/۲	۱۹۷۸/۹	۵۴/۶۱	۴۴/۸	۰/۰۵۲	۵۴/۲	۰/۴۴	۵۰

زلزله‌ی اوکلند (شتاب بیشینه =  $0.276g$ )

۵۰۷	۴۲۳	۶۵/۸	۱۰۱/۸	۱۳۵۵		۱۲۷/۱	۰/۱۰۸		۱/۳۷	بدون میراگر
۵۱۶	۴۲۷	۶۵/۵	۹۲/۹	۱۴۵۶/۳	۲/۸۷	۱۲۱/۸	۰/۱۰۴	۵/۱	۱/۳	۵
۵۲۰	۴۲۹	۶۵/۵	۸۶/۳	۱۵۲۴/۶	۸/۹۰	۱۲۴/۹	۰/۱	۱۰/۹	۱/۲۲	۱۰
۵۱۸	۴۲۰	۶۴/۴	۷۷/۷	۱۶۵۷/۸	۱۹/۲۶	۱۱۰/۷	۰/۰۹۸	۱۹/۰	۱/۱۱	۲۰
۵۰۷	۴۱۵	۶۲/۲	۷۴/۸	۱۸۱۶/۴	۲۹/۳۲	۹۶/۹	۰/۰۹	۲۷/۷	۰/۹۹	۳۰
۴۹۴	۴۰۳	۵۹/۲	۷۰/۵	۱۹۳۴	۳۷/۶۴	۸۵/۵	۰/۰۸۳	۳۵/۸	۰/۸۸	۴۰
۴۷۶	۳۹۰	۶۵/۵	۶۶/۷	۲۰۳۰/۴	۴۴/۵۷	۷۶	۰/۰۷۶	۴۲/۱	۰/۷۸	۵۰

زلزله‌ی مکزیکوسیتی (شتاب بیشینه =  $0.90g$ )

۳۲۵	۲۷۴	۱۰۲/۸	۱۴۵/۶	۱۱۰۵/۹		۴۲/۵	۰/۰۳۸		۰/۴۲	بدون میراگر
۲۹۱	۲۵۱	۱۰۲/۲	۱۲۶/۵	۱۰۲۳/۴	۱۱/۹۵	۳۸/۲	۰/۰۳	۱۴/۲	۰/۲۶	۵
۲۷۴	۲۳۷	۹۹/۹	۱۲۷/۷	۹۹۹/۵	۱۹/۰۸	۲۵/۲	۰/۰۲۵	۲۱/۴	۰/۲۳	۱۰
۲۵۲	۲۱۸	۹۱/۰	۱۱۴/۷	۹۴۰/۴	۲۷/۸۲	۲۱/۴	۰/۰۲۴	۲۱/۰	۰/۲۹	۲۰
۲۳۵	۲۰۴	۸۲/۰	۱۰۵/۱	۹۰۸/۵	۲۵/۱۷	۲۸/۲	۰/۰۲۲	۳۸/۱	۰/۲۶	۳۰
۲۲۲	۱۹۲	۷۹/۶	۹۶/۶	۸۸۵	۴۰/۶۹	۲۵/۸	۰/۰۲۱	۴۲/۹	۰/۲۴	۴۰
۲۰۹	۱۸۲	۷۶/۷	۸۸/۱	۸۶۷/۷	۴۵/۷۵	۲۳/۶	۰/۰۲۱	۴۷/۶	۰/۲۲	۵۰

جدول ۳. حداکثر پاسخ‌های دینامیکی قاب ده طبقه (۱۰-۶) با درصدهای میرایی الحقی مختلف تحت زلزله‌های استترو، اوکلند و مکزیکوستی

پاسخ طبقه‌ی اول				برش پایه (kN)	کاهش جابه‌جایی طبقه‌ی بالا (%)	جابه‌جایی طبقه‌ی بالا (mm)	شاخص آسیب کلی سازه	کاهش جابه‌جایی نسبی (%)	بیشینه‌ی جابه‌جایی (%)	درصد میرایی الحقی
گشتاور پایه‌ی ستون (kN.m)	گشتاور پایه‌ی ستون (kN.m)	برش ستون داخلی (kN)	برش ستون خارجی (kN)							
۵۴۴	۴۵۰	۲۵۹/۳	۱۸۴/۹	۱۷۸۵/۸		۱۶۴/۵	۰/۰۷۴		۱/۲۵	بدون میراگر
۵۲۵	۴۴۴	۲۵۹/۰	۱۹۲/۲	۱۸۱۷/۹	۲۱/۰۹	۱۲۹/۸	۰/۰۵۱	۳۲/۸	۰/۸۴	۵
۵۰۵	۴۲۹	۲۵۱/۱	۱۸۷/۶	۱۷۹۶/۱	۲۶/۱۱	۱۰۵/۱	۰/۰۴۲	۵۵/۲	۰/۵۶	۱۰
۵۰۹	۴۲۷	۲۴۹/۱	۱۸۷/۷	۱۸۰۵/۴	۴۷/۰۴	۸۶/۳	۰/۰۳۳	۶۴/۰	۰/۴۵	۲۰
۵۳۳	۴۴۴	۲۵۷/۵	۱۹۳/۷	۱۹۸۷/۲	۵۳/۰۷	۷۷/۲	۰/۰۳۱	۶۸/۸	۰/۳۹	۳۰
۵۳۱	۴۵۳	۲۶۴/۳	۱۹۹/۳	۲۱۰۵	۵۶/۹۰	۷۰/۹	۰/۰۳	۷۱/۲	۰/۳۶	۴۰
۵۳۹	۴۶۰	۲۶۹/۴	۲۰۴/۳	۲۲۱۲/۱	۵۹/۹۴	۶۵/۹	۰/۰۲۹	۷۲/۶	۰/۳۳	۵۰

زلزله‌ی استترو (شتاب بیشینه =  $۳۴۸g$ )

۵۴۴	۴۵۰	۲۵۹/۳	۱۸۴/۹	۱۷۸۵/۸		۱۶۴/۵	۰/۰۷۴		۱/۲۵	بدون میراگر
۵۲۵	۴۴۴	۲۵۹/۰	۱۹۲/۲	۱۸۱۷/۹	۲۱/۰۹	۱۲۹/۸	۰/۰۵۱	۳۲/۸	۰/۸۴	۵
۵۰۵	۴۲۹	۲۵۱/۱	۱۸۷/۶	۱۷۹۶/۱	۲۶/۱۱	۱۰۵/۱	۰/۰۴۲	۵۵/۲	۰/۵۶	۱۰
۵۰۹	۴۲۷	۲۴۹/۱	۱۸۷/۷	۱۸۰۵/۴	۴۷/۰۴	۸۶/۳	۰/۰۳۳	۶۴/۰	۰/۴۵	۲۰
۵۳۳	۴۴۴	۲۵۷/۵	۱۹۳/۷	۱۹۸۷/۲	۵۳/۰۷	۷۷/۲	۰/۰۳۱	۶۸/۸	۰/۳۹	۳۰
۵۳۱	۴۵۳	۲۶۴/۳	۱۹۹/۳	۲۱۰۵	۵۶/۹۰	۷۰/۹	۰/۰۳	۷۱/۲	۰/۳۶	۴۰
۵۳۹	۴۶۰	۲۶۹/۴	۲۰۴/۳	۲۲۱۲/۱	۵۹/۹۴	۶۵/۹	۰/۰۲۹	۷۲/۶	۰/۳۳	۵۰

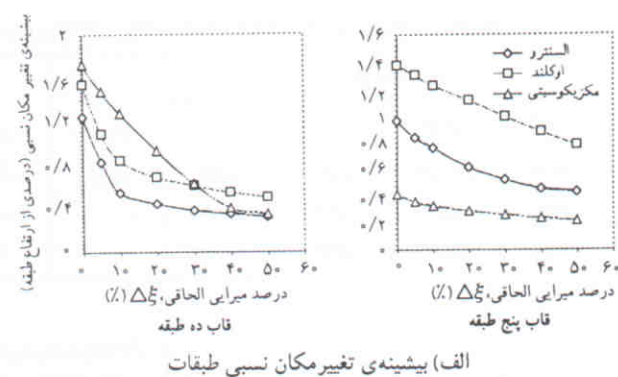
زلزله‌ی اوکلند (شتاب بیشینه =  $۲۷۶g$ )

۴۹۷	۴۲۷	۲۴۰/۸	۱۸۰/۸	۱۶۷۳/۱		۱۷۷/۴	۰/۰۹۸		۱/۵۴	بدون میراگر
۵۷۰	۴۷۴	۲۷۳/۸	۱۹۹/۲	۱۸۸۱/۸	۱۲/۰۶	۱۵۶	۰/۰۶۴	۲۹/۲	۱/۰۹	۵
۶۲۵	۵۰۶	۲۹۱/۶	۲۰۶/۴	۲۰۰۷/۳	۱۸/۹۴	۱۴۲/۸	۰/۰۵۳	۴۴/۸	۰/۸۵	۱۰
۶۹۷	۵۵۸	۳۱۷/۴	۲۲۲/۱	۲۲۶۲/۸	۲۷/۹۶	۱۲۷/۸	۰/۰۴۴	۵۴/۵	۰/۷	۲۰
۷۳۸	۵۹۲	۳۲۴/۱	۲۲۷/۰	۲۴۹۱/۴	۳۴/۰۵	۱۱۷	۰/۰۴	۵۹/۷	۰/۶۲	۳۰
۷۶۶	۶۱۴	۳۴۷/۸	۲۴۶/۱	۲۶۹۲	۳۹/۱۲	۱۰۸	۰/۰۳۹	۶۳/۶	۰/۵۶	۴۰
۷۸۱	۶۲۳	۳۵۷/۷	۲۵۲/۰	۲۸۷۲/۷	۴۲/۵۶	۱۰۱/۹	۰/۰۴۱	۶۶/۹	۰/۵۱	۵۰

زلزله‌ی مکزیکوستی (شتاب بیشینه =  $۰.۹۰g$ )

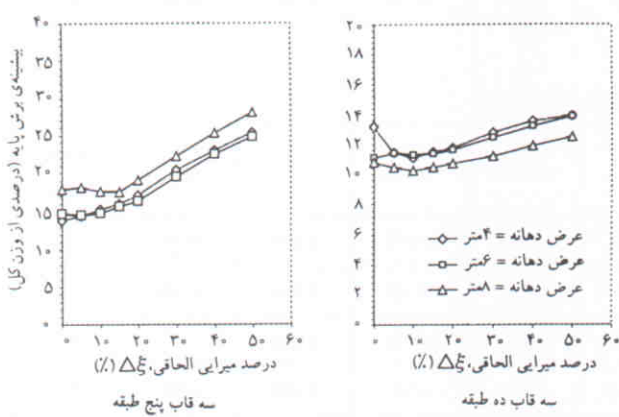
۶۶۴	۵۲۴	۲۷۳/۹	۱۷۸/۶	۱۸۱۲/۸		۲۷۱/۷	۰/۱۳۴		۱/۷۳	بدون میراگر
۶۵۵	۵۰۱	۲۶۶/۹	۱۷۷/۲	۱۷۹۸/۶	۱۳/۲۵	۲۳۵/۷	۰/۱۱۸	۱۴/۵	۱/۴۸	۵
۶۸۵	۵۲۶	۲۵۹/۸	۱۷۸/۲	۱۷۷۷/۲	۲۴/۴۸	۲۰۵/۲	۰/۱۰۳	۲۶/۰	۱/۲۸	۱۰
۷۱۷	۵۴۵	۲۵۹/۰	۱۷۹/۶	۱۷۵۶/۸	۳۹/۹۳	۱۶۳/۲	۰/۰۸	۴۵/۷	۰/۹۴	۲۰
۶۴۳	۵۰۰	۲۷۴/۳	۱۸۵/۱	۱۸۸۰	۵۷/۴۹	۱۱۵/۵	۰/۰۵۴	۶۳/۰	۰/۶۴	۳۰
۵۶۷	۴۶۳	۲۶۷/۴	۱۸۴/۹	۱۸۹۶	۵۹/۸۲	۸۲	۰/۰۳۳	۷۶/۲	۰/۴۱	۴۰
۵۳۲	۴۴۸	۲۵۷/۰	۱۸۵/۱	۱۸۶۸	۷۳/۸۷	۷۱	۰/۰۲۸	۷۹/۸	۰/۳۵	۵۰

در شکل ۱۷ الف دیده می‌شود که با افزایش میراگرها، برش پایه در زلزله‌های استنترو و اوکلند در هر دو قاب پنج و ده طبقه - افزایش یافته است. اما مقادیر برش پایه تحت زلزله‌ی مکزیکوسیتی در قاب پنج طبقه و با نصب میراگرها، کاهش می‌یابد. در شکل ۱۷ ب برش داخلی دو قاب مذکور که عبارت است از مجموع برش ستون‌های طبقه‌ی اول قاب، بر حسب درصد میراگری الحاقی رسم شده است که عمدتاً شاهد کاهش این مقادیر، بر اثر نصب میراگرها هستیم - مگر در قاب ده طبقه تحت زلزله‌ی اوکلند که با افزایش میراگرها، برش داخلی عضوها افزایش می‌یابد.

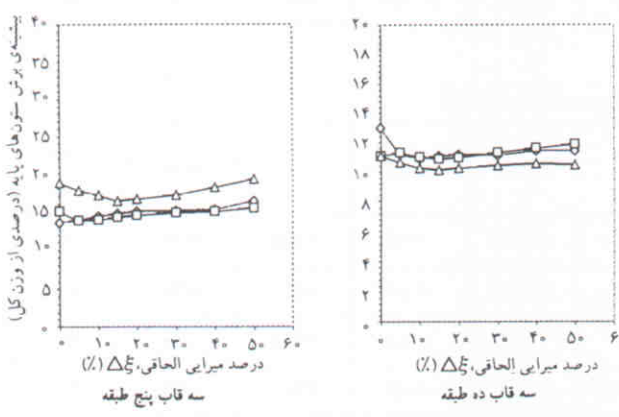


(الف) بیشینه‌ی تغییر مکان نسبی طبقات

ج) درصد میراگری الحاقی بهینه در این قسمت به این مسئله می‌پردازیم که در طراحی ساختمان‌های بتن آرمه با میراگرها لزج، چه میزان میراگری الحاقی می‌تواند بهترین رفتار دینامیکی سازه را به همراه داشته باشد، ضمن آن‌که به بعد اقتصادی طرح نیز توجه شود. برای بررسی این مسئله باید به چند مطلب توجه داشت، اول آن‌که همان‌گونه که در قسمت الف این بخش

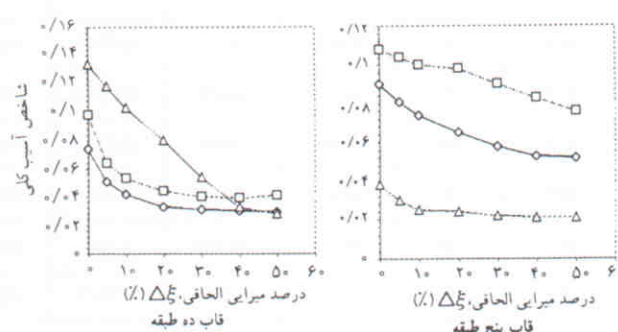


(الف) بیشینه‌ی برش پایه



(ب) بیشینه‌ی مجموع برش ستون‌های طبقه‌ی اول

شکل ۱۷. تأثیر میراگرها ویسکوز بر نیروهای برشی طبقه‌ی اول قاب‌های پنج طبقه و ده طبقه تحت زلزله‌ی استنترو.



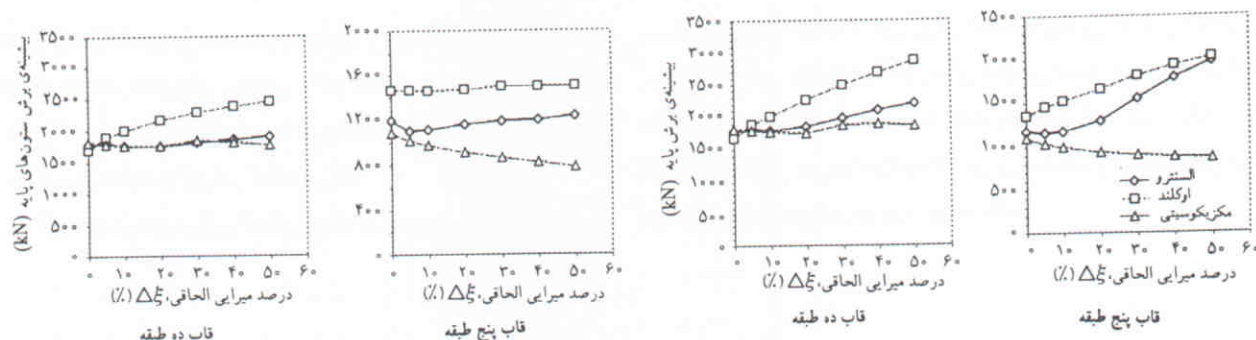
(ب) شاخص آسیب کلی ساختمان

شکل ۱۵. تأثیر درصد میراگری الحاقی بر عرض شش مترا تحت زلزله‌ی استنترو و اوکلند و مکزیکوسیتی.

قاب بدون میراگر ( $\Delta/\Delta$ ) افزایش محسوسی نداشته و در بسیاری از موارد، به خصوص در قاب با دهانه‌ی ۴ متر، برش پایه با نصب میراگرها کاهش یافته است. اما در قاب‌های پنج طبقه، در درصدهای میراگری بالا ( $>20\%/\Delta$ ) افزایش برش پایه ناشی از نصب میراگرها لزج، قابل توجه است. ولی افزایش برش پایه، به معنی افزایش برش‌ها و نیروها در عضوهای سازه‌ی نیست؛ چراکه بخشی از برش پایه، ناشی از نیروی ایجاد شده در میراگرهاست که به پس منتقل می‌شود.

در شکل ۱۶ ب مجموع برش ستون‌های طبقه‌ی اول قاب‌های مذکور، بر حسب  $\Delta/\Delta$  رسم شده‌اند تا بتوان اثر میراگرها را بر برش عضوهای مشاهده کرد. همان‌طور که در این شکل دیده می‌شود، تقریباً در تمام قاب‌های پنج و ده طبقه با درصدهای میراگری الحاقی مختلف، نصب میراگرها باعث کاهش برش ستون‌ها شده است.

برای اینکه اثر زلزله‌های دیگر را نیز بر روی نیروهای سازه‌ی مشاهده کنیم، در شکل ۱۷ این نیروها بر حسب  $\Delta/\Delta$ ، برای سه زلزله رسم شده‌اند. این نتایج مربوط به قاب‌های پنج و ده طبقه با عرض دهانه‌ای ۶ متر هستند.



شکل ۱۷. تأثیر درصد میرایی الحقیقی بر پاسخ قاب پنج طبقه و ده طبقه با دهانه‌هایی به عرض ششمتر تحت زلزله‌های استنترو، اولکند و مکزیکوستی.

ملاحظه شد، هنگامی که درصد میرایی الحقیقی از حد معینی تجاوز می‌کند، اثر میراگرها در کاهش تغییر مکان‌ها و آسیب‌های سازه‌ی بسیار کند می‌شود. همچنین با افزایش طبقات ساختمان درصد میرایی الحقیقی بهینه کاهش می‌یابد. دیگر آن‌که افزایش میرایی الحقیقی در بعضی از موارد باعث افزایش در برش پایه و برش طبقات شده که این امر بستگی به خصوصیات دینامیکی سازه و زلزله دارد، که در قسمت ب به این موضوع پرداخته شد. در هر صورت چون

بارجوع به جداول ۲ و ۳ که حداکثر پاسخ‌های دینامیکی قاب‌های پنج و ده‌طبقه تحت زلزله‌های مختلف در آنها درج شده است، میزان تغییر این پاسخ‌ها بر اثر نصب میراگرها در محدوده‌ی میرایی بهینه‌ی فوق، چنین است:

تغییر مکان طبقه‌ی آخر بین ۳۰ تا ۵۰ درصد کاهش می‌یابد. حداکثر تغییر مکان نسبی طبقات بین ۳۵ تا ۵۵ درصد تقلیل یافته و شاخص آسیب کلی ساختمان از روش پارک و انگ بین ۲۵ تا ۴۵ درصد کم می‌شود. از طرفی برش پایه در مواردی تا ۴۰٪ افزایش یافته و در مواردی دیگر تا ۲۰٪ کاهش نشان می‌دهد؛ نهایتاً مقادیر برش و لنگر در عضوها بعضاً تا ۴۰٪ کاهش می‌یابند.

### نتیجه‌گیری

نصب میراگرها لزج در ساختمان‌های بتن‌آرم‌هه می‌تواند به عنوان یک روش مؤثر در طراحی لرزه‌ی ساختمان‌های جدید و همچنین در بهسازی ساختمان‌های موجود برای مقابله با بارهای زلزله مطرح باشد. در این روش، اتلاف انرژی زلزله به جای آنکه در عضوهای اصلی سازه رخ دهد و باعث وارد شدن آسیب به این عضوها شود، در میراگرها که به همین منظور طراحی شده‌اند، صورت می‌گیرد و در نتیجه عضوهای اصلی سازه مانند تیرها و ستون‌ها که حامل بارهای ثقلی نیز هستند، از آسیب محفوظ می‌مانند.

نصب میراگرها لزج، علاوه بر این که تغییر مکان‌های سازه در

الف) بیشینه‌ی برش پایه  
ب) بیشینه‌ی مجموع برش ستون‌های طبقه‌ی اول

ملاحظه شد، هنگامی که درصد میرایی الحقیقی از حد معینی تجاوز می‌کند، اثر میراگرها در کاهش تغییر مکان‌ها و آسیب‌های سازه‌ی بسیار کند می‌شود. همچنین با افزایش طبقات ساختمان درصد میرایی الحقیقی بهینه کاهش می‌یابد. دیگر آن‌که افزایش میرایی الحقیقی در بعضی از موارد باعث افزایش در برش پایه و برش طبقات شده که این امر بستگی به خصوصیات دینامیکی سازه و زلزله دارد، که در قسمت ب به این موضوع پرداخته شد. در هر صورت چون خصوصیات زلزله‌یی که وقوع آن محتمل است مشخص نیست، باید افزایش در برش پایه را بر اثر افزایش میرایی الحقیقی پیش‌بینی کرد و به این نکته توجه کرد که نصب میراگرها باعث افزایش بیش از انتظار برش پایه و نیرو در اتصالات سازه‌یی نشود.

از سوی دیگر، با افزایش درصد میرایی الحقیقی، نیروی ایجاد شده در بادبندها و میراگرها افزایش می‌یابد. به عنوان مثال با افزایش ۵٪ از ۲۰٪ به ۳۰٪، حداکثر نیرو در بادبندهای قاب پنج طبقه و ده‌طبقه با عرض دهانه‌ی ۶ متر، به ترتیب ۴۰٪ و ۳۵٪ افزایش می‌یابند که این مسئله نیز می‌تواند محدود کننده‌ی درصد میرایی الحقیقی باشد. در نهایت، باید درصد میرایی در حدی باشد که طرح، بهترین توجیه اقتصادی را داشته باشد. در این زمینه شرکت تیلور که سازنده‌ی اصلی میراگرها لزج مایع است، درصد میرایی الحقیقی بهینه را در حدود ۱۵ تا ۲۰ درصد ذکر می‌کند، ولی مؤثر بودن افزایش میرایی تا ۵۰٪ را نیز در صورت انجام بررسی‌های دقیق‌تر مسکن می‌داند.<sup>[۲]</sup>

همچنین یکی از محققان با جمع‌بندی عملکرد ابزارهای مختلف مستهلك کننده‌ی انرژی اظهار می‌دارد که تأمین ۱۰ تا ۲۰ درصد میرایی الحقیقی می‌تواند یک پیشنهاد مناسب در استفاده از ابزارهای میرایی باشد.<sup>[۳]</sup>

با توجه به نتایج این تحقیق و در نظر گرفتن موارد فوق می‌توان این گونه نتیجه‌گرفت که میزان میرایی الحقیقی بهینه برای طراحی

مسائل مهم در استفاده از این روش است به گونه‌ی که هم کاهش مؤثری در تغییر مکان‌ها و آسیب‌های سازه‌یی ایجاد شود و هم این‌که طرح، بهترین توجیه اقتصادی را داشته باشد. در کنار این باید به افزایش احتمالی نیروها در اتصالات و پی ساختمان به خصوص در پهسازی ساختمان‌های موجود توجه داشت.

اثر زلزله را کاهش می‌دهند، در بسیاری از موارد نیروها و لنگرهای ایجاد شده در عضوهای سازه‌یی را نیز تقلیل می‌بخشند؛ اختلاف فازی که بین نیروی میراگر لرج با نیروهای برشی و لنگرها در اعضای سازه وجوده دارد، به این امر کمک می‌کند.  
انتخاب درصد میرایی الحقیقی بهینه در نصب میراگرهای لرج، از

### پانوشت

1. dampers
2. pinching
3. hysteresis

### مراجع

1. Constantinou, M. C. and Symans, M. D., "Experimental and analytical investigation of seismic response of structures with supplemental fluid viscous dampers", NCEER-92-0032, SUNY/Buffalo, (1992).
2. Reinhorn, A. M., Li, C., and Constantinou, M. C., "Experimental and analytical investigation of seismic retrofit of structures with supplemental damping : Part 1-Fluid viscous damping devices", NCEER-95-0001, SUNY/Buffalo, (1995).
3. <http://www.taylordevices.com>, Sep 2000.
4. Valles, R. E., Reinhorn, A. M., Kunnath, S. K., Li, C., and Madan, A., "IDARC2D version 4.0: A computer program for the inelastic damage analysis of buildings," NCEER-96-0010, SUNY/Buffalo, (1996).
5. Kent, D. C., and Park, R., "Flexural members with confined concrete", *ASCE Journal of Structural Division*, **97** (ST 7), PP. 1969-1990, (1971).
6. Takeda, T., Soten, M., A., and Nielsen, N., N., "Reinforced concrete response to simulated earthquakes", *ASCE Journal of the Structural Division*, **96** (ST12), PP. 2557-2573, (1970).
7. Saiidi, M., "Hysteresis models for reinforced concrete", *ASCE Journal of the Structural Division*, **108** (ST5), PP. 1077-1087, (1982).
8. Lobo, R. F., Bracci, J. M., Shen, K. L, Reinhorn, A. M., and Soong, T. T., "Inelastic response of reinforced concrete structures with viscoelastic braces", NCEER-93-0006, SUNY/Buffalo, (1993).
9. Scholl, R. E., "Fundamental design issues for supplemental damping applications", *Earthquake Spectra*, **9**(3), PP. 627-636, (1993).